

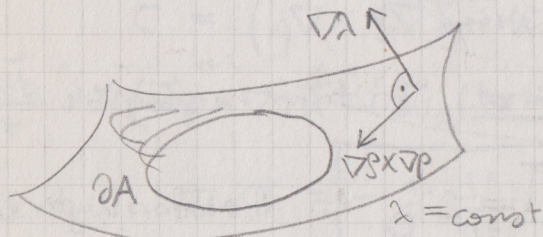
Ertel's theorem

2nd derivation: Pedlosky p.40f

Kelvin's circulation theorem (prop. Bjerknes) ($v = 0$)

$$\frac{dC}{dt} = \frac{d}{dt} \oint_{\partial A} \vec{dl} \cdot \vec{u} = \int_A \vec{da} \cdot \frac{\nabla p \times \nabla p}{\rho^2}$$

1) Trick: choose ∂A in surface of constant λ



$$\text{SEI } \frac{d\lambda}{dt} = 0!$$

$\lambda = \text{const}$ along ∂A at $t=0$ & $\frac{d\lambda}{dt} = 0$

$\Rightarrow \lambda = \text{const}$ along $\partial A(t)$ for all t :

 ∂A remains in surface $\lambda = \text{const}$!

2) Let $\lambda = \lambda(s, p)$ be thermodynamic function.

Then $\nabla \lambda = s \nabla p + p \nabla s \perp \nabla p \times \nabla p$

d.h. $\nabla p \times \nabla p$ liegt in der Fläche $\lambda = \text{const}$!

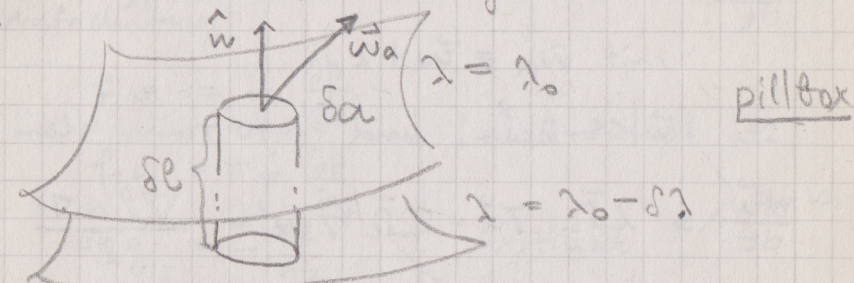
d.h. $\vec{da} \cdot (\nabla p \times \nabla p) \lambda = 0$,

d.h. $\frac{d}{dt} \int_A \vec{da} \cdot \vec{w}_a = 0$

3) Geometrie: make A infinitesimally small, δa

$$\frac{d}{dt} (\vec{w}_a \cdot \vec{\delta a}) = 0$$

Also Ausdruck für $\vec{\delta a}$ genügt



$$\delta s |\nabla \lambda| = \delta l \quad \text{by definition of } \nabla \lambda$$

mass content in pillbox: $\delta m = \rho \delta a \delta l$

$$0 = \frac{d}{dt} (\vec{w}_a \cdot \vec{\delta a})$$

$$= \frac{d}{dt} (\vec{w}_a \cdot \hat{n} \frac{\delta a \delta l \delta s}{\delta l \rho})$$

$$= \frac{d}{dt} \left(\frac{\vec{w}_a}{\rho} \cdot \hat{n} |\nabla \lambda| \frac{\delta m}{\delta l \delta s} \right)$$

$$= \underbrace{\frac{\delta m}{\delta l \delta s}}_{\text{const}} \frac{d}{dt} \left(\frac{\vec{w}_a}{\rho} \cdot \nabla \lambda \right)$$

$\frac{d}{dt} \left(\frac{\vec{w}_a}{\rho} \cdot \nabla \lambda \right) \neq 0$

Thus, if the λ -surfaces move apart and $\nabla \lambda$ becomes smaller, \vec{w}_a must increase!

Vorticity equ., geostrophy, thermal wind

Pedlosky S. 42 - 56

Vorticity equ.

$$\frac{d\vec{\omega}}{dt} = \vec{\omega}_a \cdot \nabla \vec{u} - \vec{\omega}_a \nabla \cdot \vec{u} + \frac{\nabla p \times \nabla p}{\rho^2} + \nabla \times \frac{\vec{F}}{\rho}$$

mit $\vec{\omega}_a = \vec{\omega} + 2\vec{\Omega}$

sei $|\vec{\omega}| \ll 2|\vec{\Omega}|$ und letzter Term klein:

$$\frac{d\vec{\omega}}{dt} = 2\vec{\Omega} \cdot \nabla \vec{u} - 2\vec{\Omega} \nabla \cdot \vec{u} + \frac{\nabla p \times \nabla p}{\rho^2}$$

Annahme: $\frac{d\vec{\omega}}{dt} = 0$; ist klein, bleibt klein,

große Terme rechts kompensieren sich.

$$2\vec{\Omega} \cdot \nabla \vec{u} - 2\vec{\Omega} \nabla \cdot \vec{u} = -\frac{\nabla p \times \nabla p}{\rho^2}$$

thermischer Wind

thermischer Term

Annahme: barotropic: $\nabla p \times \nabla p = 0$

incompressible: $\nabla \cdot \vec{u} = 0$

$$\rightarrow \vec{\Omega} \cdot \nabla \vec{u} = 0 \quad \text{Taylor - Prandtl theorem}$$

$$\vec{\Omega} = (0, 0, \vec{\Omega}) \text{ und}$$

mit $\nabla \vec{u} = (u, v, w)$ und $w = 0$ auf Raumfläche

$$\rightarrow \vec{u} = (u(x, y, t), v(x, y, t), 0) \quad 2-D!$$

Taylor - column (1923)

Zurück zur Impulsgleichung

geostrophic Näherung

$$2\vec{\Omega} \times \vec{u} = -\frac{\nabla p}{\rho} + \nabla \Phi$$

Coriolis Druck gravity

Vereinfachung:

$$f v = \frac{1}{\rho} \frac{\partial p}{\partial x}$$

$$f u = -\frac{1}{\rho} \frac{\partial p}{\partial y}$$

$$g = -\frac{\partial p}{\partial z}$$

horizontal

entkoppelt

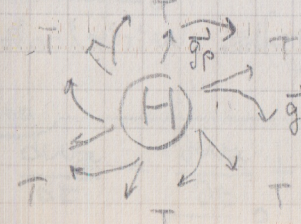
vertikal

Teildruck bewegen sich entlang Isobaren, statt senkrecht dazu (∇p). Sind also „Kreisel“, die nach senkrecht zur angewandten Kraft bewegen.

„Geostrophie“ heißt: aus $p(x, y, z)$ kann u, v, w berechnet werden (trivial).

Auswirkungen von Geostrophie (niedersum)

aus Vorticity equation, also als $\vec{\omega}$ -Effekt, vor allem mittels potential vorticity.



Nordhemisphäre:

H = Hochdruck

T = Tiefdruck

→ Hochdruckgebiete sind Antizykloone

Wiederholung: Ertel (1942) in "Naturwissenschaften"
genau wie Pedlosky:

Vorticity equation in der Näherung

$$\frac{d}{dt} \left(\frac{\vec{\omega}}{\rho} \right) - \frac{\vec{\omega}}{\rho} \cdot \nabla \vec{u} = \frac{\nabla \rho \times \nabla p}{\rho^2}$$

$$\text{Sei } \rho = \rho(p, z) : \quad = \frac{\partial p}{\partial z} \frac{\nabla z \times \nabla p}{\rho^2} \mid \cdot \nabla z$$

$$\rightarrow \nabla z \cdot \frac{d}{dt} \left(\frac{\vec{\omega}}{\rho} \right) - \frac{\vec{\omega}}{\rho} \cdot \nabla \vec{u} \cdot \nabla z = 0 \quad (1)$$

$$\frac{d\lambda}{dt} = \frac{\partial \lambda}{\partial t} + u_j \partial_j \lambda$$

$$\begin{aligned} \rightarrow \nabla \frac{d\lambda}{dt} &= \partial_i \frac{d\lambda}{dt} = \underbrace{\frac{\partial}{\partial t} \partial_i \lambda + u_j \partial_j \partial_i \lambda}_{= \frac{d}{dt} \partial_i \lambda} + (\partial_i u_j) \partial_j \lambda \\ &= \frac{d}{dt} \nabla \lambda + \nabla \vec{u} \cdot \nabla \lambda \end{aligned}$$

Produktregel in (1)

$$\rightarrow \frac{d}{dt} \left(\nabla \lambda \cdot \frac{\vec{\omega}}{\rho} \right) - \frac{\vec{\omega}}{\rho} \cdot \frac{d}{dt} \nabla \lambda - \frac{\vec{\omega}}{\rho} \cdot \nabla \vec{u} \cdot \nabla \lambda = 0$$

$$\begin{aligned} \frac{d}{dt} \left(\nabla \lambda \cdot \frac{\vec{\omega}}{\rho} \right) - \frac{\vec{\omega}}{\rho} \cdot \nabla \frac{d\lambda}{dt} + \underbrace{\frac{\vec{\omega}}{\rho} \cdot \nabla \vec{\lambda} \cdot \nabla \lambda}_{= 0 \text{ by assumption}} - \frac{\vec{\omega}}{\rho} \cdot \nabla \vec{u} \cdot \nabla \lambda \end{aligned}$$

$$\boxed{\frac{d}{dt} \left(\nabla \lambda \cdot \frac{\vec{\omega}}{\rho} \right) = 0}$$

Ertelscher Wirbelzatz

Potential vorticity & shallow water

9.3.22

Sect. 3.4 Pedlosky

Vorticity kartesisch

$$w_x = w_y - u_z \quad w_y = \frac{\partial w}{\partial y} \text{ unv.}$$

$$w_z = u_z - w_x$$

Mit u & v unabh. von z

$$w_x = w_y$$

$$w_y = -w_x$$

$$w_z = u_x - u_y$$

Shallow water Euler eqn. with Coriolis acc.

$$u_t + u u_x + v u_y - f v = -g h_{xx} - f y$$

$$v_t + u v_x + v v_y + f u = -g h_{yy} \mid \partial_x$$

quell

$$\frac{-u_{ty}}{+v_{tx}} \frac{-u_y u_x}{+u_x u_y} \frac{-u u_{xy}}{+u v_{xx}} \frac{-v_y u_y}{+u_x v_y} \frac{-v u_{yy}}{+v v_{xy}} \frac{+f u_y}{+f u_x} = g h_{xy}$$

$$\begin{aligned} \frac{(u_x - u_y)_t}{0} + \frac{u \partial_x (u_x - u_y)}{1} + \frac{v \partial_y (u_x - u_y)}{2} \\ = \left(-\frac{f}{3} - \frac{u_x + u_y}{4} \right) \frac{(u_x + u_y)}{5} \end{aligned}$$

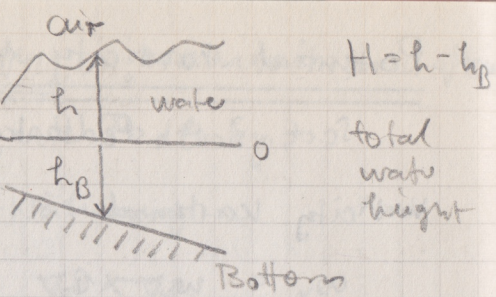
also

$$\boxed{\frac{dw_z}{dt} = \frac{\partial w_z}{\partial t} + u \frac{\partial w_z}{\partial x} + v \frac{\partial w_z}{\partial y} = - (w_z + f) \left(\frac{\partial u}{\partial x} + \frac{\partial v}{\partial y} \right)}$$

Kontinuitätsglg:

$$0 = \frac{\partial H}{\partial t} + \frac{\partial}{\partial x}(uH) + \frac{\partial}{\partial y}(vH)$$

$$\text{d.h. } \frac{dt}{dt} + H \left(\frac{\partial u}{\partial x} + \frac{\partial v}{\partial y} \right) = 0$$



$$H = h - h_B$$

total
water
height

Schreibe damit \otimes als

$$\boxed{\frac{dw_z}{dt} = \frac{w_z + f}{H} \frac{dH}{dt}}$$

d.h. für $dH/dt > 0$ d.h. stretching wächst w_z

"Ballinaeffekt"

Beachte: es gibt in shallow water nur vertikale Kolumnen, also keinen tilting - effekt

Mit $df/dt = 0$ folgt

$$\frac{d(w_z + f)/dt}{w_z + f} = \frac{dH/dt}{H}$$

also mit NR:

$$\frac{f'}{f} = \frac{g'}{g} \rightarrow \frac{f'fg}{f} = \frac{g'fg}{g} \rightarrow \frac{f'g - fg'}{g} = 0 = \left(\frac{f}{g}\right)'$$

$$\boxed{\frac{d}{dt} \left(\frac{w_z + f}{H} \right) = 0}$$

$$\frac{w_z + f}{H} = TT \quad \text{Grob potentiell vorlängig}$$

erneut: $H \uparrow \rightarrow w_z \uparrow$

Weil $f \neq 0$ ist selbst für $w_z(t=0) = 0$ zu späteren Zeiten $w_z \neq 0$:

Erneute Herleitung in übermäßiger Stärke

Selbst in verbauloser aber rotierender Atmosphäre
Ozean wird verticity erzeugt durch vertikales Stretching, also z.B. Abnicken des Ozeanbodens

Anschluss an artels pot. vorlängig

Wir brauchen dann λ mit $d\lambda/dt = 0$.

Dies ist etwas trickreich: Pedlosky S. 62.

$$\text{Kontiglg. } \frac{\partial u}{\partial x} + \frac{\partial v}{\partial y} + \frac{\partial w}{\partial z} = 0$$

da $u = u(x, y, t)$ und $v = v(x, y, t)$ known

+ Integration durchgeführt werden

$$w(x, y, z, t) = -z \left(\frac{\partial u}{\partial x} + \frac{\partial v}{\partial y} \right) + q(x, y, t)$$

Bestimme q durch untere Randbedingung

$$\frac{dz}{dt} \Big|_{h_B} = w(x, y, h_B, t)$$

$$\frac{\partial h_B}{\partial t} + u \frac{\partial h_B}{\partial x} + v \frac{\partial h_B}{\partial y} = -h_B \left(\frac{\partial u}{\partial x} + \frac{\partial v}{\partial y} \right) + q$$

$$\text{d.h. } q = u \frac{\partial h_B}{\partial x} + v \frac{\partial h_B}{\partial y} + h_B \left(\frac{\partial u}{\partial x} + \frac{\partial v}{\partial y} \right)$$

$$\text{also } w(x, y, z, t) = (h_B - z) \left(\frac{\partial u}{\partial x} + \frac{\partial v}{\partial y} \right) + u \frac{\partial h_B}{\partial x} + v \frac{\partial h_B}{\partial y}$$

verwendete von linke Seite $\frac{dH}{dt} + H \left(\frac{\partial u}{\partial x} + \frac{\partial v}{\partial y} \right) = 0$

$$\frac{dZ}{dt} = w(x, y, z, t) = \frac{z - h_B}{H} \frac{dH}{dt} + u \frac{\partial h_B}{\partial x} + v \frac{\partial h_B}{\partial y}$$

$$\text{d.h. } \frac{z - h_B}{H} \frac{dh}{dt} - \frac{dz}{dt} + \frac{dh_B}{dt} = 0$$

$$\frac{z - h_B}{H} \frac{dh}{dt} = \frac{d}{dt} (z - h_B)$$

$$\frac{dh}{dt} = \frac{d(z - h_B)/dt}{z - h_B}$$

Damit wäre vorher

$$\boxed{\frac{d}{dt} \left(\frac{z - h_B}{H} \right) = 0}$$

Tolle Aussage: da $u = u(x_1)$ und $v = v(x_2)$

Erweist nach Fließrichtigkeit in Säulen, die relative Position jedes Teilchens in der Säule bleibt erhalten, wenn die Säule vertikal gestreckt/gestaucht wird



Relative Höhe ist Erhaltungsgröße
(für shallow water)

Nun zurück zu Artel: verwenden also

$$\boxed{\lambda = \frac{z - h_B}{H}}$$

Es ist $\frac{u}{w} \approx \frac{l}{h} \gg 1$ mit typischer Länge l , Höhe h , für shallow water

$$\begin{aligned} \text{also } \vec{\omega} &= (w_y, -w_x, v_x - u_y) \\ &\approx (0, 0, w_z) \end{aligned}$$

also Artel ist verträglich

$$\begin{aligned} \bar{T}T &= \frac{\vec{\omega}_a \cdot \nabla \lambda}{g} \\ &= \frac{(f + w_z)}{g} \frac{\partial}{\partial z} \left(\frac{z - h_B}{H} \right) \end{aligned}$$

$$= \frac{f + w_z}{gH} \quad \text{und da } g \approx \text{const}$$

ist Artel Theorem

$$\boxed{0 = \frac{d\bar{T}T}{dt} = \frac{d}{dt} \left(\frac{w_z + f}{H} \right)}$$

wie 3 Seiten zuvor!
Und nochmal anders (Vallis S. 162)

$$\text{Kelvin } \frac{dC}{dt} = 0 \text{ mit } C = \oint_{L=SA} d\vec{a} \cdot \text{rot } \vec{v}$$

$$\text{also } \frac{d}{dt} (d\vec{a} \cdot \text{rot } \vec{v}) = 0. \quad \text{Speziell für shallow water}$$

$$\text{rot } \vec{v} = f + w_z \hat{z} \text{ also } \frac{d}{dt} (d\vec{a} \cdot (f + w_z) \hat{z}) = 0.$$

Kontinuität: Volumen $d\vec{a} \cdot H$ Fließrichtigkeitsrichtung konstant

$$\text{also } \boxed{\frac{d}{dt} \left(\frac{w_z + f}{H} \right) = 0}$$

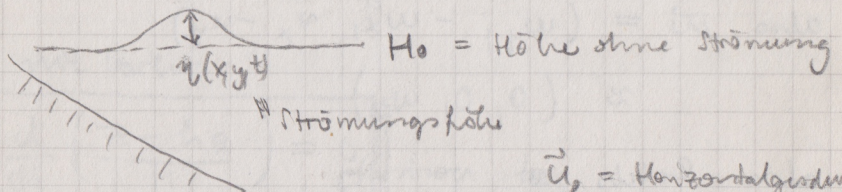
Linearekte shallow water flow

9.3.22

Theorem (Pedlosky S. 70)

Gegeben sei stationäre, linearisierte shallow water Strömung

$$\frac{\partial \eta}{\partial t} = 0, \quad \eta \ll H_0, \quad \vec{u} \gg (\vec{u} \cdot \nabla) \vec{u}$$

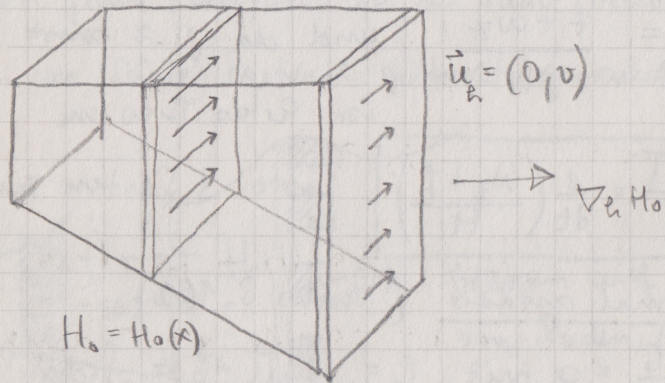


Dann ist $\vec{u}_h \perp \nabla_h H_0$

$$\vec{u}_h = \text{Horizontalgeschw.}$$

$$\nabla_h = \text{horizontale Gradient}$$

d.h. die Strömung ist entlang Konstante Wasserschei.



Beweis

1) indirekt aus Ertel-Theorem (Pedlo S.70) quadratisch u, v

$$\frac{d}{dt} \left(\frac{w_z + f}{H} \right) = 0 \quad \text{wird mit } \frac{\partial}{\partial t} = \vec{u}_h \cdot \nabla_h \xrightarrow{\text{wz}} \vec{u}_h \cdot \nabla_h H_0 = 0$$

2) direkt aus Hydrogleichungen (Pedlo S.67-70)

$$\frac{\partial u}{\partial t} - fv = -g \frac{\partial \eta}{\partial x} \quad \text{E}_1$$

$$\frac{\partial v}{\partial t} + fu = -g \frac{\partial \eta}{\partial y} \quad \text{E}_2$$

$$\frac{\partial \eta}{\partial t} + \frac{\partial}{\partial x} (u H_0) + \frac{\partial}{\partial y} (v H_0) = 0 \quad \text{E}$$

Sei $U = u H_0$

$V = v H_0$ Dann

$$\left\{ \begin{array}{l} \frac{\partial U}{\partial t} - fv = -g H_0 \frac{\partial \eta}{\partial x} \\ \frac{\partial V}{\partial t} + fu = -g H_0 \frac{\partial \eta}{\partial y} \end{array} \right. \quad (1)$$

$$\left\{ \begin{array}{l} \frac{\partial \eta}{\partial t} + \frac{\partial U}{\partial x} + \frac{\partial V}{\partial y} = 0 \end{array} \right. \quad \text{für } U, V, \eta \quad (2)$$

$$\left\{ \begin{array}{l} \frac{\partial \eta}{\partial t} + \frac{\partial U}{\partial x} + \frac{\partial V}{\partial y} = 0 \end{array} \right. \quad \text{für } U, V, \eta \quad (3)$$

$(1)_x + (2)_y$ und $(2)_x - (1)_y$ geben

$$\dot{V_y + U_x} - f(V_x - U_y) = -g \left[(H_0 \eta_x)_x + (H_0 \eta_y)_y \right] \quad (4)$$

$$V_x - U_y + f(V_y + U_x) = -g \left[H_{0,x} \eta_y - H_{0,y} \eta_x \right] \quad (5)$$

(4) & (5) einsetzen:

$$\dot{V_y + U_x} + f^2 (V_y + U_x) = -fg (H_{0,y} \eta_y - H_{0,x} \eta_x)$$

$$(3) \text{ einsetzen } (C_0^2 = g H_0) \quad -g \frac{\partial}{\partial t} \left[(H_0 \eta_x)_x + (H_0 \eta_y)_y \right]$$

$$0 = \ddot{\eta} + f^2 \dot{\eta} - (C_0^2 \eta_x)_x - (C_0^2 \eta_y)_y - fg (H_{0,x} \eta_y - H_{0,y} \eta_x)$$

bedachte $H_{0x}\eta_y - H_{0y}\eta_x = \begin{vmatrix} H_{0x} & \eta_x \\ H_{0y} & \eta_y \end{vmatrix} = \text{Jacobiante}$. Dann zurück zu Gleichungen

$$\ddot{u} - f v = -g \eta_x$$

$$\ddot{v} + f u = -g \eta_y$$

gilt

$$\ddot{u} + f^2 u = -g \dot{\eta}_x - f g \eta_y$$

$$\ddot{v} + f^2 v = -g \dot{\eta}_y + f g \eta_x$$



stationäre Form der gesuchten Gleichung ist

$$H_{0x}\eta_y - H_{0y}\eta_x = 0$$

d.h. $\frac{H_{0x}}{H_{0y}} = \frac{\eta_x}{\eta_y}$

nun ist für $\eta(x,y) = \text{const}$

$$d\eta = \eta_x dx + \eta_y dy = 0$$

$$\frac{\eta_x}{\eta_y} = -\left. \frac{dy}{dx} \right|_{\eta=\text{const}}$$

ebenso für $H_0(x,y) = \text{const}$

$$\frac{H_x}{H_y} = -\left. \frac{dy}{dx} \right|_{H_0=\text{const}}$$

d.h.

$$\left. \frac{dy}{dx} \right|_{\eta} = \left. \frac{dy}{dx} \right|_{H_0}$$

oder einfacher: die Linien $y(x)$ mit $\eta = \text{const}$
und die Linien $y(x)$ mit $H_0 = \text{const}$
fallen zusammen

Es bleibt zu zeigen, dass \vec{u} tangential ist, d.h.

$$\vec{u} = \left. \frac{dy}{dx} \right|_{\eta} = \left. \frac{dy}{dx} \right|_{H_0}$$

stationär:

$$\begin{cases} u = -\frac{g}{f} \eta_y \\ v = +\frac{g}{f} \eta_x \end{cases}$$

} ist nördliche geostrophische Näherung

also

$$\boxed{u \eta_x + v \eta_y = 0}$$

oder $\vec{u}_h \nabla_h \eta = 0$

d.h. \vec{u}_h tangential an Contourlinien von η
Wasserlinien



Bemerkung

Die Wasserlinien $\eta = \text{const}$ und die Strömungsvelitorm \vec{u} zeigen also direkt die Linien $H_0 = \text{const}$ des Meeresbodens.

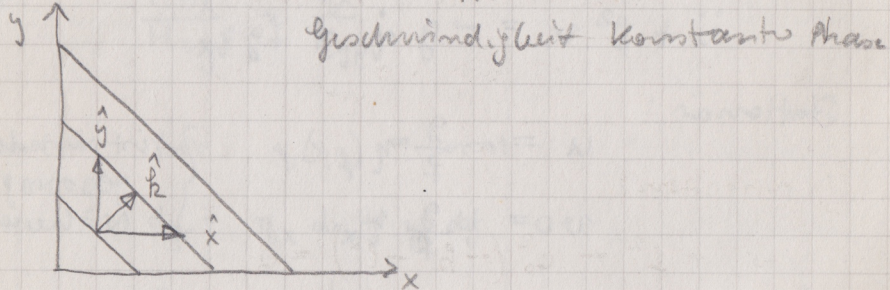
Die starke Aussage des Theorems beruht auf folgenden Faktoren: ¹⁾ shallow flow, ²⁾ stationarity,

³⁾ linearity (i.e. $u^2 \equiv 0$ etc.), ⁴⁾ presence of Coriolis term

WELLEN MIT CORIOLISBESCHL. 9.3.22

wie bei shallow water Strömung (u, v) und $w \ll u, v$
Phase $e^{i(kx+ly-\delta t)}$ (1)

Phasengeschwindigkeit $c = \frac{\omega}{\sqrt{k^2 + l^2}}$ ist die



In der gleichen Zeit Δt legt ebene Welle in \hat{k} -Richtung Strecke Δs zurück, in \hat{x} - und \hat{y} -Richtung aber $\sqrt{2} \Delta s$, also Phasengeschw.

$$c_x = c_y = \sqrt{2} c$$

Absurd? müsste ja zum

$$c_x = c_y = c/\sqrt{2}$$

Sagt nur, das Phasengeschwindigkeit keine v von Teilchen muss sind, sondern RÄTEN
→ falsche ...

Wellengleichung ist

$$\ddot{\eta} + f^2 \dot{\eta} - \overline{(c_0^2 \eta_x)_x} - \overline{(c_0^2 \eta_y)_y} - fg(\bar{H}_0 \eta_y - \bar{H}_0 \eta_x) = 0$$

zu H_0 Konstant: flacher Meeresboden:

$$\ddot{\eta} + f^2 \dot{\eta} - c_0^2 \overline{\eta_{xx} + \eta_{yy}} = 0$$

Kann einmal integriert werden

$$\boxed{\ddot{\eta} + f^2 \dot{\eta} - c_0^2 \Delta \eta = 0} = \text{const}$$

(1) einsetzen:

$$-\delta^2 + f^2 - c_0^2 (-k^2 - l^2) = 0$$

$$\text{d.h. } \delta = \sqrt{c_0^2 (k^2 + l^2) + f^2} \quad (\pm) \quad \text{POINCARÉ wellen}$$

$$c = \frac{\omega}{\sqrt{k^2 + l^2}} = \sqrt{c_0^2 + \frac{f^2}{k^2 + l^2}}$$

Corioliswellen sind immer schneller als gewöhnliche Wasserwellen. Benutze ~~die~~ von vorletzte Seite:

$$\ddot{u} + f^2 u = -g \dot{\eta}_x - fg \eta_y$$

$$\ddot{v} + f^2 v = -g \dot{\eta}_y + fg \eta_x$$

gibt

$$(\delta^2 - f^2) u_0 = (g k \delta + i f g l) \eta_0$$

$$(\delta^2 - f^2) v_0 = (g l \delta - i f g k) \eta_0$$

für $\eta = \eta_0 e^{i(kx+ly-\delta t)}$

$$u = u_0 e^{i(kx+ly-\delta t)}, \text{ dann } v$$

10.3.22

ungewöhnlich: Summe reeller & imaginärer Zahl

Trick klar: multiplizieren mit $(k, l) \cdot$ und $(l, -k) \cdot$ [Vektor]
um nur reell oder imag. zu erhalten.

Bedeutung auch klar:

$$u_{||} = (k, l) \cdot (u, v) / \sqrt{k^2 + l^2}$$

$$u_{\perp} = (l, -k) \cdot (u, v) / \sqrt{k^2 + l^2}$$

Bereute

$$\sigma^2 - f^2 = c_0^2 K^2 \quad (K^2 = k^2 + l^2)$$

Somit

$$u_{||} = \frac{g K^2 \sigma}{K(\sigma^2 - f^2)} \eta_0 e^{i\omega t}$$

$$= \frac{g \sigma}{c_0^2 K} \eta_0 e^{i\omega t}$$

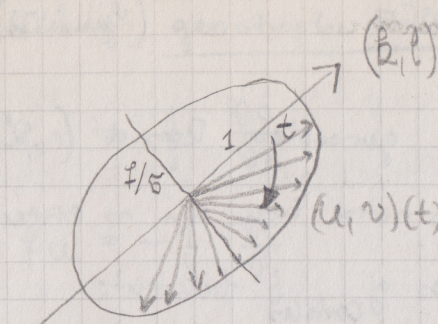
$$(\sigma^2 / K = c) \quad = \frac{c}{H_0} \eta_0 e^{i\omega t} \xrightarrow{\text{Re}} \frac{c \eta_0}{H_0} \cos(kx + ly - \sigma t)$$

$$u_{\perp} = \frac{i \pm g K^2}{K(\sigma^2 - f^2)} \eta_0 e^{i\omega t}$$

$$= \frac{i f}{H_0} \frac{1}{K} \eta_0 e^{i\omega t} \quad \text{Wahl } (l, -k) \text{ statt } (-l, k)$$

$$= \frac{i f}{H_0} \frac{c}{\sigma} \eta_0 e^{i\omega t} \xrightarrow{\text{Re}} -\frac{c \eta_0}{H_0} \frac{f}{\sigma} \sin(kx + ly - \sigma t)$$

$$\text{Also } u_{||}^2 + \frac{f^2}{\sigma^2} u_{\perp}^2 = \frac{\eta_0^2}{H_0^2} c^2 \quad \text{Ellipenglg!}$$



POINCARÉ - Welle

Achtung: die Phase läuft dabei vorwärts in (k, l) - Richt. Nicht gerichtet

$$(\sigma^2 < 1)$$

Bemerkung: diese Wellen sind nicht geostroph wegen $f/\sigma < 1$, sondern breiten sich im overtidischen in Richtung von ∇p aus (und nicht \perp dazu).

Die Verfolgung einer Poincaréwelle ist

$$w_z = \frac{f \eta}{H_0}$$

(Rechnung Pedlo S. 74)

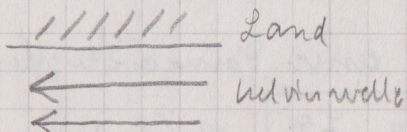
Kinematik der Poincaréwellen ist komplex. Mehr späte Ausweg: betrachte Poincaréwellen in geraden Kanälen. Führt auf Eigenwertproblem (Ränder) mit diskreten Frequenzen σ . Keine chross channel Geschwindigkeit.

Der bemerkenswerte Modus, den man meist findet, ist die „entartete“ Kelvinwelle (interacting cancellations)

KELVINWELLE

(gill S.32) 10.3.22

- erfordert einen geraden Rand („Land“)
- $f_{\text{Coriolis}} \sim v$. Es wird nur ein v erzeugt, das ein sehr spezielles g_{Coriolis} benötigt;
- Kelvinwelle ist in perfekte geostrophische Balance, obwohl Poincaréwellen es f.a. nicht sind.
- geostrophisch: Strömung entlang Isobaren
- Auf der Nordhalbkugel-Kelvinwelle nur so, dass Landmasse in Strömungsrichtung RECHTS



- Gezeiten im Pazifik und Kelvinwellen ein wesentliches Element. Nordatlantik ist zu schnell, ^{admiral} dann v als Kanal betrachtet werden kann; keine Rotationseffekte in narrow channels

Wiederholung: geostrophische Näherung (+ Baroschicht.)

$$\left. \begin{aligned} fv &= \frac{1}{f} \frac{\partial p}{\partial x} \\ fu &= -\frac{1}{f} \frac{\partial p}{\partial y} \\ \zeta &= -\frac{1}{f} \frac{\partial p}{\partial z} - g \end{aligned} \right\} \begin{array}{l} \text{Pedlosky S. 49} \\ (2.8.21a-c) \end{array}$$

Vergleich: Seichtwasserwellengleichung

$$i - fv = -g \frac{\partial \eta}{\partial x}$$

$$i + fu = -g \frac{\partial \eta}{\partial y}$$

$$\dot{\eta} + H_0 \left(\frac{\partial u}{\partial x} + \frac{\partial v}{\partial y} \right) = 0 \quad \text{für } H_0 = \text{const}$$

$$\text{Aus } \frac{\partial p}{\partial z} = -pg \text{ folgt } \frac{1}{f} \frac{\partial p}{\partial x} = g \frac{\partial \eta}{\partial x} \quad (\text{ebenso } y)$$

Annahme: $v = 0$,

dynam.

$$\left. \begin{aligned} i &= -g \frac{\partial \eta}{\partial x} \\ \dot{\eta} + H_0 \frac{\partial u}{\partial x} &= 0 \end{aligned} \right\} \begin{array}{l} 2 \text{ Gleichungen für} \\ \eta \text{ und } u \end{array}$$

6 Seiten
zurück
bei

$$\leftarrow fu = -g \frac{\partial \eta}{\partial y}$$

geostrophische constraint
(keine Zeitableitung)

sie ersten beiden ergen geben we do

$$0 = \ddot{u} + g \dot{\eta}_x$$

$$= \ddot{u} - \underbrace{g H_0}_{= c_0^2} u_{xx}$$

freie Wellenglg.

$$0 = \ddot{\eta} + H_0 \dot{u}_x$$

$$= \ddot{\eta} - g H_0 \eta_{xx}$$

71-

Lösungen: $\eta = F(x+ct, y) + G(x-ct, y)$

$$\boxed{\frac{H_0}{g} u = -F(x+ct, y) + G(x-ct, y)}$$

Einsetzen in constraint $f_u = -g \frac{\partial \eta}{\partial y}$ gibt

$$-f \frac{1}{\sqrt{H_0 g}} F = -\frac{\partial F}{\partial y} \quad (\text{jill S.37d})$$

$$f \frac{1}{\sqrt{H_0 g}} G = -\frac{\partial G}{\partial y}$$

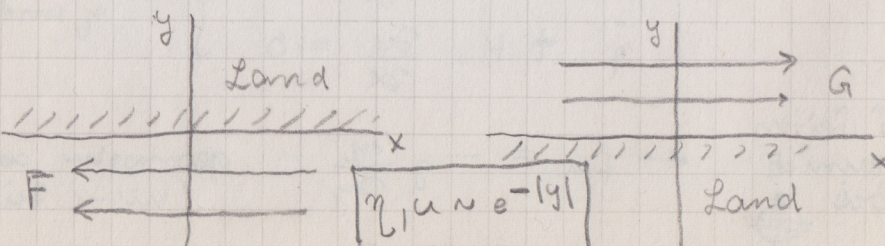
also

$$\frac{dF}{F} = \pm \frac{1}{c_0} dy, \quad \frac{dG}{G} = -\frac{1}{c_0} dy$$

exponentiell u

Zerfall für $y < 0$

$\begin{matrix} -u \\ \text{für } y > 0 \end{matrix}$



Die Corioliskraft f_u in -y-Richtung aufgrund von u_x (für den Fall G) wird kompensiert durch die Druckkraft $-g \frac{\partial u}{\partial y}$ in ty-Richtung.

Skala des exponentiellen Abfalls:

$$\boxed{R = c_0 / f}$$

Rossbyradius

hängt nicht von Strömung ab.

Pedlosky: Kelvinwelle ist die ($n=0$) - Mode
führende des diskreten Spektrums von Peimcaré-
wellen in einem Kanal (Eigenwertproblem)

$R \approx 2000$ km im tiefen Ozean

≈ 200 km am Küsten
Kelvinwelle

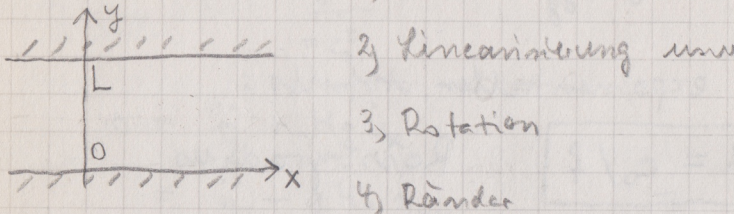
$$\boxed{\eta = e^{-y/R} \tilde{G}(x-ct)}$$

$$\boxed{u = \sqrt{g} e^{-y/R} \tilde{G}'(x-ct)}$$

Poincaré Wellen in geraden Kanälen

Pedlosky S. 75 ff

Annahmen also: 1) shallow water flow



4) führt zu einem diskreten Eigenwertproblem

Wir beginnen mit (siehe 7 Seiten zurück)

$$\boxed{\begin{aligned} (1) \quad \ddot{u} + f^2 u &= -g \dot{\eta}_x - fg \eta_y \\ (2) \quad \ddot{v} + f^2 v &= -g \dot{\eta}_y + fg \eta_x \\ (3) \quad \ddot{\eta} + f^2 \eta - c_0^2 \Delta \eta &= \text{const.} \end{aligned} \quad | \quad H_0 = \text{const.}}$$

Randbedingung $v|_{y=0} = v|_{y=L} = 0$ d.h. aus (2)

$$(4) \quad \boxed{\dot{\eta}_y - f \eta_x = 0, \quad y=0, L}$$

einfatester Ansatz $\eta = \operatorname{Re} \bar{\eta}(y) e^{i(\tilde{k}x - \tilde{\omega}t)}$ in (4) gibt

$$(3) \quad \left\{ \frac{d^2 \bar{\eta}}{dy^2} + \left(\frac{\tilde{\omega}^2 - f^2}{c_0^2} - \tilde{k}^2 \right) \bar{\eta} = 0 \quad \text{nur const.} \right.$$

$$(4) \quad \left\{ \frac{d\bar{\eta}}{dy} + f \frac{\tilde{k}}{\tilde{\omega}} \bar{\eta} = 0, \quad y=0, L \right.$$

Lösung von (3') ist

$$\bar{\eta} = A \sin \tilde{\omega} y + B \cos \tilde{\omega} y$$

$$\text{mit } \tilde{\omega}^2 = \frac{\tilde{\omega}^2 - f^2}{c_0^2} - \tilde{k}^2$$

Dies in (4) gibt

$$(y=0) \quad \tilde{\omega} A + \frac{f k}{\tilde{\omega}} B = 0$$

$$(y=L) \quad \left(\tilde{\omega} \cos \tilde{\omega} L + \frac{f k}{\tilde{\omega}} \sin \tilde{\omega} L \right) A + \left(-\tilde{\omega} \sin \tilde{\omega} L + \frac{f k}{\tilde{\omega}} \cos \tilde{\omega} L \right) B = 0$$

Sind 2 Gleichungen für A, B. Eliminiere B = $-\frac{\tilde{\omega} A}{f k} \tilde{\omega} \neq 0$

Sei $C = \cos \tilde{\omega} L$ und $S = \sin \tilde{\omega} L$. Dann (A+0)

$$\tilde{\omega} C + \frac{f k}{\tilde{\omega}} S + \left(-\tilde{\omega} S + \frac{f k}{\tilde{\omega}} C \right) \left(-\frac{\tilde{\omega} A}{f k} \right) = 0$$

$$\cancel{\tilde{\omega} C} + \frac{f k}{\tilde{\omega}} S + \frac{\tilde{\omega}^2 C^2}{f k} S - \cancel{\tilde{\omega} C} = 0$$

$$(f^2 k^2 + \tilde{\omega}^2 C^2) S = 0$$

$$\left(f^2 k^2 + \left(\frac{\tilde{\omega}^2 - f^2}{c_0^2} - \tilde{k}^2 \right) C^2 \right) S = 0$$

$$(f^2 k^2 c_0^2 - \tilde{\omega}^2 k^2 c_0^2 + (\tilde{\omega}^2 - f^2) C^2) S = 0$$

$$(C^2 - f^2)(\tilde{\omega}^2 - c_0^2 k^2) \sin \tilde{\omega} L = 0$$

Eigenwertgleichung

Jede der 3 Faktoren kann 0 werden!

1. Fall Poincaréwelle $\sin \tilde{\omega} L = 0$ d.h. $\tilde{\omega} = \frac{n\pi}{L}, n \in \mathbb{N}$

$$\text{d.h. } \tilde{\omega}^2 = \frac{\tilde{\omega}^2 - f^2}{c_0^2} - \tilde{k}^2 = \frac{n^2 \pi^2}{L^2} \text{ also}$$

$$\tilde{\omega} = \tilde{\omega}_n = \left[f^2 + c_0^2 \left(\tilde{k}^2 + \frac{n^2 \pi^2}{L^2} \right) \right]^{1/2} \quad n \in \mathbb{N}$$

$$\text{vgl. } \tilde{\omega} = \left[f^2 + c_0^2 \left(\tilde{k}^2 + \ell^2 \right) \right]^{1/2}$$

für, 2-D
Poincaré-
wellen

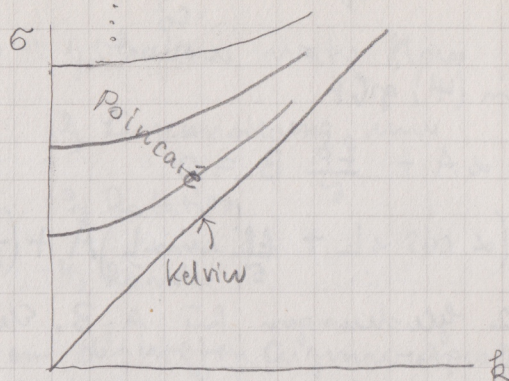
2. Fall

$$\tilde{\sigma} = c_0 k$$

Kelvinwelle

Coriolistrom f fällt raus, da y -Richtung geostroph.

Spektrum



Zur Kelvinwelle aus getriggert allgemeine Gleichung

$$\omega^2 = \frac{\tilde{\sigma}^2 - f^2}{c_0^2} - k^2 = -\frac{f^2}{c_0^2} \text{ d.h. } \omega = i \frac{f}{c_0}$$

rein imaginär, d.h.

$\tilde{\eta}(y) = A \sin(ky) + B \cos(ky)$ gilt expon. Abfall

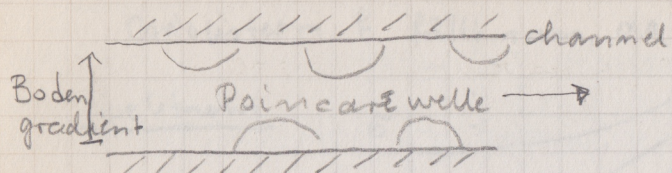
bzw direkt: $\frac{d^2 \tilde{\eta}}{dy^2} - \frac{f^2}{c_0^2} \tilde{\eta} = 0$ hat Lsg e^{-ky} !

Übung: zeige $v = 0$ für diesen Fall

3. Fall $\tilde{\sigma} = \pm f$ ist sogenannte unphysikalisch

ROSSBY - WELLE

11.3.22



$$H(y) = H_0 - sy \quad , \text{slope } s$$

$$(\text{Pedo: } s_{\text{Pedo}} = \frac{D_0}{L} s_{\text{Pedo}})$$

$$\text{Ansatz nach } \eta = \text{Re } \bar{\eta}(y) e^{(kx - \sigma t)}$$

Wellengleichung für η war (viele Seiten zurück)

$$\ddot{\eta} + f^2 \dot{\eta} - \overline{(c_0^2 \eta_x)_x} - \overline{(c_0^2 \eta_y)_y} - fg(H_x \eta_y - H_y \eta_x) = 0$$

$$\text{NR: } \overline{(c_0^2 \eta_x)_x} = \overline{(g H \eta_x)_x} = \overline{g H_x \eta_x + g H_{xx} \eta} = g H \eta_{xx}$$

$$\overline{(c_0^2 \eta_y)_y} = \dots = \overline{g H_y \eta_y + g H_{yy} \eta} = g H \eta_{yy} + g H_y \eta_y$$

Damit

$$\text{Re} \left[(i\sigma^3 - i\tilde{f}^2 - i\tilde{g}H\tilde{k}^2) \bar{\eta} + i\tilde{g}H \bar{\eta}'' - i\tilde{\sigma}g\tilde{s}\bar{\eta}' - i\tilde{f}g\tilde{s}\tilde{k}\bar{\eta} \right] \\ \stackrel{\dots}{=} \stackrel{\tilde{f}^2 \eta}{\eta} \stackrel{gH \eta_{xx}}{\eta_{xx}} \stackrel{gH \eta_{yy}}{\eta_{yy}} \stackrel{gH_y \eta_y}{gH_y \eta_y} \left[e^{i(kx - \sigma t)} \right] = 0$$

$$(5(\sigma^2 - \tilde{f}^2 - gH\tilde{k}^2) - \tilde{f}g\tilde{s}\tilde{k}) \bar{\eta} - g\tilde{s}\tilde{\sigma}\bar{\eta}' + gH\tilde{\sigma}\bar{\eta}'' = 0$$

$$\frac{H}{H_0} \bar{\eta}'' - \frac{s}{H_0} \bar{\eta}' + \left[\frac{\sigma^2 - \tilde{f}^2 - gH\tilde{k}^2}{gH_0} - \frac{\tilde{f}s\tilde{k}}{H_0\tilde{\sigma}} \right] \bar{\eta} = 0$$

$$\left(1 - \frac{sy}{H_0} \right) \bar{\eta}'' - \frac{s}{H_0} \bar{\eta}' + \left[\frac{\sigma^2 - \tilde{f}^2}{gH_0} - \tilde{k}^2 \left(1 - \frac{sy}{H_0} \right) - \frac{\tilde{f}s}{H_0\tilde{\sigma}} \tilde{k} \right] \bar{\eta} = 0$$

ist η_{lg} (3.10.3) S. 81 in Pedlosky

H kommt in Autogleichung und Wellengleichung für u, v nicht vor, Randbedingung $w=0$ bei $y=0, L$ bleibt also wie zuvor:

$$\begin{aligned} \eta_y - f \eta_x &= 0 & y = 0, L \quad \text{d.z.} \\ \boxed{\bar{\eta}_y + \frac{fk}{\sigma} \bar{\eta} = 0} & & y = qL \end{aligned}$$

$$\text{Näherung (willkürlich): } 1 - \frac{sy}{H_0} \approx 1$$

aber nimmt $\frac{s}{H_0}$ dennoch mit! } Zwitter

$$\bar{\eta}'' - \frac{s}{H_0} \bar{\eta}' + \left[\frac{\sigma^2 - \tilde{f}^2}{c_0^2} - \tilde{k}^2 - \frac{\tilde{f}s}{H_0\tilde{\sigma}} \tilde{k} \right] \bar{\eta} = 0$$

$$\text{Lösungsansatz } \bar{\eta} = e^{\frac{sy}{2H_0}} \left(\underbrace{A \sin \varphi y}_{\text{exp}} + \underbrace{B \cos \varphi y}_{\text{exp}} \right)$$

$$\begin{aligned} \text{einsetzen: } & \frac{s^2}{4H_0^2} (A \varphi + B \psi) \exp \\ & + \frac{s\tilde{k}}{H_0} (A \psi - B \varphi) \exp \leftarrow \\ & - \alpha^2 (A \varphi + B \psi) \exp \left. \right\} \text{heben sich} \\ & - \frac{s}{H_0} \frac{s}{2H_0} (A \varphi + B \psi) \exp \\ & - \frac{s\tilde{k}}{H_0} (A \psi - B \varphi) \exp \leftarrow \\ & + \left[\frac{\sigma^2 - \tilde{f}^2}{c_0^2} - \tilde{k}^2 - \frac{\tilde{f}s}{H_0\tilde{\sigma}} \tilde{k} \right] (A \varphi + B \psi) \exp = 0 \end{aligned}$$

$$\text{d.h. } \alpha^2 = \frac{\sigma^2 - \tilde{f}^2}{c_0^2} - \left(\tilde{k}^2 + \frac{s^2}{4H_0^2} \right) - \frac{\tilde{f}s}{H_0\tilde{\sigma}} \tilde{k} \quad (3.107) \text{ in Pedlo}$$

$$\frac{1}{4} - \frac{1}{4} = -\frac{1}{4}$$

Lösungsansatz für $\bar{\eta}$ in RB $y=0, L$ einsetzen:

$$\text{für } \bar{\eta} \text{ beliebig: } \frac{s}{2H_0} \bar{\eta} + \alpha(A\zeta - B\zeta) \exp + \frac{fk}{\sigma} \bar{\eta} = 0$$

$$y=0: \quad \frac{s}{2H_0} B + \alpha A + \frac{fk}{\sigma} B = 0$$

$$\text{also } \alpha A + \left(\frac{s}{2H_0} + \frac{fk}{\sigma} \right) B = 0 \quad (\text{I})$$

$$y=L: 0 = A \sin \alpha L \left(\frac{s}{2H_0} + \frac{fk}{\sigma} \right)$$

$$+ A \cos \alpha L \cdot \zeta$$

$$- B \sin \alpha L \cdot \zeta$$

$$+ B \cos \alpha L \left(\frac{s}{2H_0} + \frac{fk}{\sigma} \right) \stackrel{(\text{I})}{=} -\alpha A \cos \alpha L$$

d.h. wieder nur $\sin \alpha L$ übrig, wie zuvor:

$$0 = -\sin \alpha L \left(\frac{s}{2H_0} + \frac{fk}{\sigma} \right)^2 \frac{B}{2} - B \alpha \sin \alpha L$$

$$\text{d.h. } \left(\alpha^2 + \left(\frac{s}{2H_0} + \frac{fk}{\sigma} \right)^2 \right) \sin \alpha L = 0$$

α^2 von oben einsetzen

$$\left[\frac{\zeta^2 - f^2}{c_0^2} - \left(\frac{f^2}{k^2} + \frac{s^2}{4H_0^2} \right) - \frac{fs}{H_0 \zeta} k + \left(\frac{s}{2H_0} + \frac{fk}{\sigma} \right)^2 \right] \sin \alpha L = 0$$

$$\left[\zeta^2 - f^2 - \frac{k^2 c_0^2}{4} - \frac{s^2 g^2}{4} - \frac{f s k g^2 H_0}{\sigma} + \frac{s^2 g^2}{4} \right. \\ \left. + \frac{2s f B g^2 H_0}{2\sigma} + \frac{f^2 k^2 c_0^2}{\sigma^2} \right] \sin \alpha L = 0$$

$$\left[\zeta^2 (f^2 - \zeta^2) - f^2 k^2 c_0^2 + f^2 k^2 c_0^2 \right] \sin \alpha L = 0$$

$$\boxed{(f^2 - \zeta^2)(f^2 - k^2 c_0^2) \sin \alpha L = 0} \quad (3.10.8)$$

genau wie für $H = H_0 = \text{const}$ zuvor!

Poincaréwellen für $\sin \alpha L = 0$ d.h. $\alpha L = n\pi$, d.h.

$$\circledast \quad \boxed{\zeta^2 - \frac{f^2 k^2 c_0^2}{H_0} \frac{1}{\sigma^2} - c_0^2 \left[k^2 + \frac{f^2}{c_0^2} + \frac{n^2 \pi^2}{L^2} \right] = 0}$$

dabei wurde Term $s^2 g^2 / 4$ als klein (!) weggelassen

\circledast ist glg. 3. Ordnung in ζ .

Näherungsweise erhält man 2 Lösungszweige

mit $s=0$, also niedrige Poincaréwellen,

$$\zeta^2 = f^2 + c_0^2 \left(k^2 + \frac{n^2 \pi^2}{L^2} \right)$$

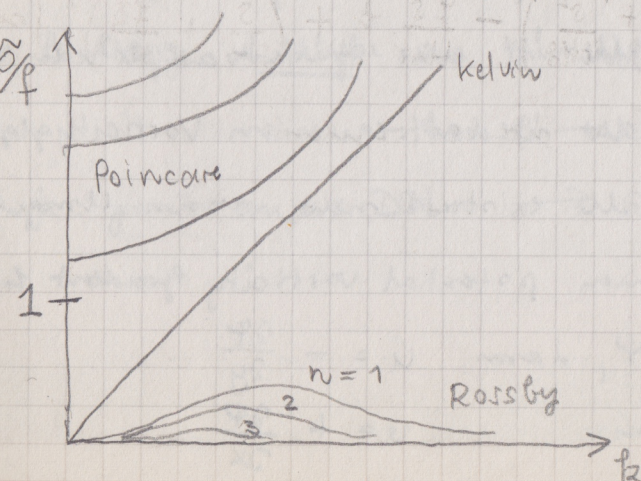
Die neue dritte Wurzel hat $1/\sigma$ als unbestimmten Term, also ist ζ klein und also ζ^2 vernachlässigbar:

$$\boxed{\zeta = -s \frac{f}{H_0} \frac{k}{k^2 + f^2/c_0^2 + n^2 \pi^2/L^2}}$$

topo-graphic
Rossby
wave

niederfrequent! da $s \rightarrow 0$

$$\boxed{\zeta_{\text{Rossby}} < f}$$



Periode der
Rossbywelle
ist größer als
Rotationsperiode,
daher „topo-
graphisch“

Remarkable: $\tilde{\zeta}_{\text{Rossby}} < 0$ dh. $\eta \approx e^{i(kx + l\zeta t)}$

Lsg:

$$\eta = \eta_0 \sin \frac{n\pi y}{L} \cos (kx + |\zeta|t) + \mathcal{O}(6)$$

$$u = -\eta_0 \frac{g n \pi}{f L} \cos \frac{n\pi y}{L} \cos (kx + |\zeta|t) + \mathcal{O}(6)$$

$$v = -\eta_0 \frac{g k}{f} \sin \frac{n\pi y}{L} \sin (kx + |\zeta|t) + \mathcal{O}(6)$$

Somit

$$u = -\frac{g}{f} \frac{\partial \eta}{\partial y} \quad \left. \begin{array}{l} \text{geostroph, obwohl Welle} \\ \text{wird} \end{array} \right\}$$

$$v = \frac{g}{f} \frac{\partial \eta}{\partial x} \quad \left. \begin{array}{l} \text{sehr niedrig frequent} \\ \text{nähungswise} \end{array} \right\}$$

Geschwindigkeitsfelder bleiben dynamisch in geostrophischer Balance mit Druckkräften.

Heraus ergibt sich große Thematik der → quasigeostrophischen Strömungen. ←

Zentrales Ergebnis (vgl. Reckner):

1) Rossbywelle ist eine finit-amplitude Lösung der niedrfrequenten Vorticityglg.

2) Rossbywelle existiert nur, wenn Umgebung einen potential vorticity gradient hat

Idee: $\frac{\partial}{\partial t} \eta = \Psi$, dann $u = -\frac{\partial \Psi}{\partial y}$

Streamfunktion

$$v = +\frac{\partial \Psi}{\partial x}$$

Ψ

Dispersionsrelation für 2-D Rossbywellen

$$\tilde{\sigma} = -\frac{k \frac{\partial \eta}{\partial y} - l \frac{\partial \eta}{\partial x}}{k^2 + l^2 + F} \quad \begin{array}{l} \text{(Pedlosky} \\ \text{3.15.4} \\ \text{S. 99)} \end{array}$$

mit algebraischen Termen F und $\vec{k} = (k, l)$

Rossby's originalarbeit

Er betrachtet nicht linearen Bodengradienten

$$H(y) = H_0 - \beta y$$

sondern Variation der Corioliskraft, mit geograph. Breite

$$f(y) = f_0 + \beta_0 y$$

$$f_0 = 2 \Omega \sin \theta_0$$

$$\beta_0 = 2 \Omega L / f_0 \cdot \cos \theta_0$$

Potential vorticity

$$\Pi = \frac{\omega_z + f}{H} : \text{ist egal, ob } H \text{ abnimmt} \\ \text{oder } f \text{ zunimmt}$$

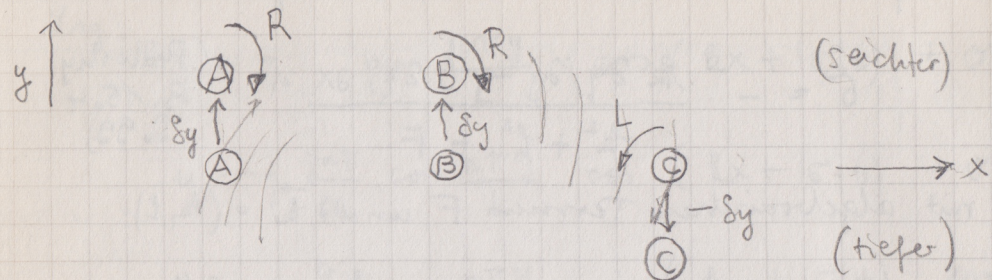
Schlampiges Argument in Pedlosky S. 107:

Die biselinge Analyse von H' -wellen gilt auch für f' -wellen

Na ja: ganz andere DGL ... → chapter 6

Mechanismus der Rossbywelle

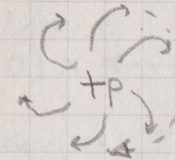
Pedlosky S. 103



- Betrachte 3 Flüssigkeitssäulen A, B, C bei gleichem y , d.h. gleiche Wasseroberfläche (im Bild von oben gesehen)
- B wird um $+\delta y$ verschoben (Störung)
- B gelangt in seichteres Wasser. Dadurch wird (continuity)
 - α Grundfläche von B verbleibt
 - β Wasseroberfläche in B steigt
- Wegen α verringert sich positive Vorticity von B; Ballerinaeffekt
- d.h. für $f > 0$ (Nordhalbkugel):
 - B bekommt Rechtsdrall, im Uhrzeigersinn (R)
 - ambient pot. vort. wächst, $\frac{f}{H} \rightarrow \frac{f}{H-dH}$ ab
 - gesamte ist erhalten: $\frac{f+w}{H} \rightarrow \frac{f+w-dw}{H-dH+\delta y}$
 - Auch wegen β verringert sich positive Vorticity β von B: Der erhöhte Wasserdruck bei B durch erhöhten

Wasserangebot bewirkt auf Nordhemisphäre

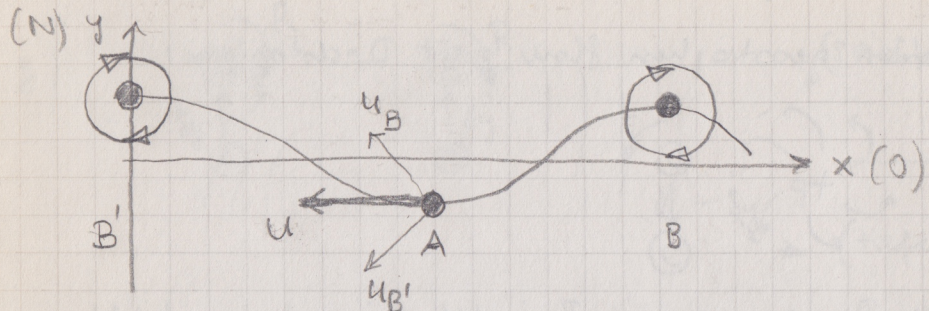
einen geostrophischen flow mit Rechtsdrall:



- die Bewegung um B im Uhrzeigersinn schiebt Säule C nach unten ($-\delta y$), Säule A nach oben ($+\delta y$)
- C entwickelt counterclock, A clockwise circulation (L) (R)
- Sowohl A wie C induzieren bei B ein \bar{u} , das B zurückdrückt in Originalposition
- also negativer feedback $\delta y \rightarrow -\delta y$, d.h. Welle
- genauer: B wird aufgrund Trägheit (keine Welle ohne Trägheitskraft) über Position hinausschießen, d.h. $-\delta y$, also Zyklus $\delta y \rightarrow -\delta y \rightarrow \delta y \rightarrow -\delta y$
- Für kurze Abstände A-B-C, also kleine λ , sind die Grundflächen (querendig) von A,B,C klein und ebenso die induzierten Vorticityänderungen: $\delta \rightarrow 0$
- Für große Abstände A-B-C sind die circulationsänderungen klein, der Effekt verschwindet wieder, $\delta \rightarrow 0$

Mechanismus Rossbywelle

Vallis S. 229/230



$$\text{Potential vorticity} \sim J + \beta y$$

Aber für $\delta y > 0$: $\delta J < 0$ wg P.V. conservation:

Strömung im Umzugsstrom für $\delta y > 0$

Wirbel bei B und B' induzieren bei A

Bewegung nach links, $u < 0$, westward

= Rossbywelle

(Kein vertikales displacement, $v = 0$,

d.h. dimensionale Störung behält Form)

"Potential vorticity anomaly produces
velocity field that displaces fluid parcels."

Für die Rechnung mit P.V. siehe 6 Seiten
weiter vorne.

Unrotated / Preparation

Kelvin - Bjerknes - Arntz Theorem

15.3.22

Vallis, S. 151

$$\text{Kelvin: } \frac{d}{dt} \oint_L \vec{dl} \cdot \vec{v} = - \oint_L \frac{\partial p}{\partial z}$$

$$\text{Bjerknes: } - \oint_L \frac{\partial p}{\partial s} = - \oint_L \vec{dl} \cdot \frac{\nabla p}{\partial s}$$

$$= - \int_S \vec{da} \cdot \nabla \times \frac{\nabla p}{\partial s}$$

Stokes

$$= \int_S \vec{da} \cdot \underbrace{(\nabla s^{-1} \times \nabla p)}_{\text{Bjerkness tubes}}$$

Arntz: $dU = dQ - pdV$, $dQ = Tds$

pro Massen: $pdg^{-1} = Tds - dU$

also $s^{-1} dp = d\left(\frac{p}{s}\right) - pdg^{-1}$
 $= -Tds + dU + d\left(\frac{p}{s}\right)$

also $\frac{d}{dt} \oint_L \vec{dl} \cdot \vec{v} = \oint_L \left\{ Tds - dU - d\left(\frac{p}{s}\right) \right\}$

$$= \oint_L Tds$$

$$= 0 \quad \text{wenn } s = \text{const on L}$$

lege L also in eine Fläche (!) mit $s = \text{const}$.

? Dies reicht nicht. Dann $L = L(t)$, braucht also

$$S(t) = \text{const in } L(t), L \text{ ist material loop, also } \frac{dS}{dt} = 0$$

Circulation in rotierendem Systemen

15.3.22

S. 152 in
Vallis

$$\frac{d}{dt} \oint dl \cdot \vec{v}$$

$$\vec{v} = \vec{v}_{\text{inertia}}$$

$$= \oint_L dl \cdot (\vec{v}_r + \vec{\Omega} \times \vec{r}) \quad \text{Eulerformel}$$

$$= \oint_L dl \cdot \left[\frac{d\vec{v}_r}{dt} + \vec{\Omega} \times \vec{v}_r \right] + (\vec{v}_r + \vec{\Omega} \times \vec{r}) \cdot d\vec{v}_r$$

$$\text{mit } \oint dl \cdot \vec{v}_r = 0$$

$$\text{und p. I. } \oint dl \cdot (\vec{\Omega} \times \vec{r}) = \oint dl (\vec{v}_r \cdot \vec{\Omega} \times \vec{r}) \\ - \oint \vec{v}_r \cdot dl (\vec{\Omega} \times \vec{r}) \\ = - \oint \vec{v}_r \cdot (\vec{\Omega} \times d\vec{r}) \\ = \oint d\vec{r} \cdot (\vec{\Omega} \times \vec{v}_r)$$

$$(d\vec{r} = dl)$$

$$\downarrow \oint_L dl \cdot \left(\frac{d\vec{v}_r}{dt} + 2\vec{\Omega} \times \vec{v}_r \right)$$

$$\text{Euler } \oint_L dl \cdot (-\frac{dp}{g} - \nabla \Phi) = 0 \quad \text{wenn } p = p(\beta)$$

also, was man auch einfach hätte voraussetzen können

$$0 = \oint_L dl \cdot \vec{v} = \oint_L dl \cdot (\vec{v}_r + \vec{\Omega} \times \vec{r}) \\ \text{Stokes } = \oint_S da \cdot (\vec{w}_r + 2\vec{\Omega}) = 0$$

$$\text{mit } \vec{w}_r = \nabla \times \vec{v}_r = \text{relative vorticity} \quad p = p(\beta)$$

$$\text{und (Übung!) } \nabla \times (\vec{\Omega} \times \vec{r}) = 2\vec{\Omega}$$

Vorticity - Eq. in rotating frame

15.3.22

Vallis S. 153

Auflegg im rotierendem System ($\vec{u} \equiv \vec{v}_r$)

$$\frac{d\vec{u}}{dt} + 2\vec{\Omega} \times \vec{u} = -\frac{\nabla p}{g} - \nabla \Phi$$

gab vor welchen Seiten (Kosten rechts)

$$\frac{d\vec{w}}{dt} = (2\vec{\Omega} + \vec{\omega}) \cdot \nabla \vec{u} - (2\vec{\Omega} + \vec{\omega}) \cdot \nabla \cdot \vec{u} \\ + \frac{\nabla p \times \nabla \Phi}{g^2}$$

Fürkre ein $\vec{w}_a = 2\vec{\Omega} + \vec{\omega}$ mit $\vec{\Omega} = \text{const.}$

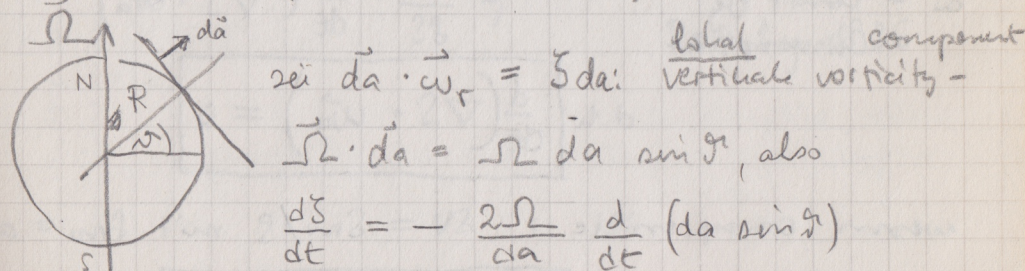
$$\frac{d}{dt} \left(\frac{\vec{w}_a}{g} \right) = \frac{\vec{w}_a}{g} \cdot \nabla \vec{u} + \frac{\nabla p \times \nabla \Phi}{g^2}$$

Beta - Effekt

Vallis S. 154

$$\frac{d}{dt} \int_S da \cdot (\vec{w}_r + 2\vec{\Omega}) = 0 \quad \text{wenn } p = p(\beta)$$

$$\text{also } \frac{d}{dt} (da \cdot (\vec{w}_r + 2\vec{\Omega})) = 0 \quad \text{für infinit } S$$



zur $da \cdot \vec{w}_r = 5da$: total component
vertikale vorticity -

$$\vec{\Omega} \cdot da = \vec{\Omega} \cdot da \sin \theta, \text{ also}$$

$$\frac{dS}{dt} = -\frac{2\vec{\Omega}}{da} \frac{da}{dt} (\sin \theta)$$

wegen Inkompressibilität $\frac{da}{dt} da = 0$ d.h.

$$\frac{dS}{dt} = -2\vec{\Omega} \cdot \vec{v} \cos \theta = -\beta v_g \quad \left. \begin{array}{l} \text{Vorticity -} \\ \text{Verlust} \\ \text{Dichtung} \\ \text{Nordpol} \end{array} \right\}$$

$$\beta = \frac{2\vec{\Omega}}{R} \cos \theta$$

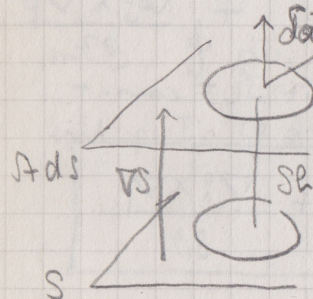
P. V. after Valles

15.03.22

S.157/158 etwas knapp; war vorher schon hier

$$\text{Bjerknes: } \frac{d}{dt} (\vec{da} \cdot \vec{w}_a) = 0$$

für Fläche in der $S = \text{const}$ (nicht vor 3 Seiten)



δV = Volumen

Flüssigkeitsfüllung
= const wenn
inkompressibel

δS = const bzg
Assumption

$$\begin{aligned} 0 &= \frac{d}{dt} (\delta a \cdot \vec{w}_a) \\ &= \frac{d}{dt} (\delta a \hat{n} \cdot \vec{w}_a) \\ &= \frac{d}{dt} \left(\delta a \frac{\nabla S}{|\nabla S|} \cdot \vec{w}_a \right) \\ &= \frac{d}{dt} \left(\delta a S_h \frac{\nabla S}{|\nabla S| S_h} \cdot \vec{w}_a \right) \\ &= \frac{d}{dt} \left(\frac{\delta V}{\delta S} \nabla S \cdot \vec{w}_a \right) \\ &= \frac{\delta V}{\delta S} \frac{d}{dt} (\nabla S \cdot \vec{w}_a) \end{aligned}$$

$$\text{d.h. } \boxed{\frac{d}{dt} (\nabla S \cdot \vec{w}_a) = 0}$$

wenn compressible: $\delta V = S_m / \delta$ mit $S_m = \text{const}$

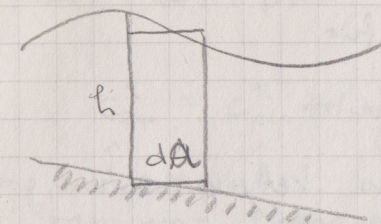
also

$$\boxed{\frac{d}{dt} \left(\nabla S \cdot \frac{\vec{w}_a}{\delta} \right) = 0}$$

$$\text{mit } \vec{w}_a = \vec{w} + 2\vec{\Omega}$$

P. V. for shallow water

Valles S.162



$$\vec{w}_a = (0, 0, \vec{J} + \vec{f})$$

$$\vec{da} = da \hat{z}, \vec{f} = 2\vec{\Omega} \cdot \hat{z}$$

also Bjerknes für alle

Flächen, in denen $S = \text{const}$

$$0 = \frac{d}{dt} (\vec{da} \cdot \vec{w}_a) = \frac{d}{dt} (da (\vec{J} + \vec{f}))$$

zu (in Valles nicht erwähnt) $\vec{da} = da \hat{z}$ gewählt

denn für polytropen Flüssigkeit liegen in jedem horizontalen Fläche die „Taylorcolumns“ =

Flüssigkeitssäulen mit konstantem $\delta S / S_m$.

für $f = \text{const}$ (Wasser) also $\boxed{\frac{d}{dt} \left(\frac{\vec{J} + \vec{f}}{h} \right) = 0}$

$$\text{mit } \frac{d}{dt} = \frac{\partial}{\partial t} + u \frac{\partial}{\partial x} + v \frac{\partial}{\partial y}$$

P.V. für shallow water

Rosby 1936

Rossbywellen für β -Effekt

15.3.22
Vallis S.226 ff

Vor einigen Seiten wurde für vertikale vorticity J hergeleitet

$$\frac{dJ}{dt} = -\beta v_g \quad \text{aus Kelvintheory, } p=p(J)$$

Kleine Alternativeleitung aus P.V. (skewflow-wave):

$$\frac{d}{dt} \left(\frac{f+J}{h} \right) = 0 \quad \text{mit } f = f_0 + \beta y, \quad h = \text{const},$$

$$\frac{dJ}{dt} + v \frac{\partial f}{\partial y} = \frac{dJ}{dt} + \beta v = 0 \quad \text{nach oben}$$

Betrachte Störung (u, v) einer zonalen Störung

$$(U, 0), \quad \text{mit } u = -\frac{\partial \psi}{\partial y}, \quad v = \frac{\partial \psi}{\partial x}$$

dann $J = v_x - u_y = \Delta \psi$, also

$$\boxed{\Delta \dot{\psi} + U \Delta \psi_x + \beta \psi_x = 0}$$

gg (6.57) S.228 Vallis

vgl. (3.18.4) S.108 in Pedlosky

wobei $u\psi, v\psi$ also ψ^2

weggelassen wurde: lineare Näherung

ebene Welle: $\psi \sim e^{i(kx+ly-\sigma t)}$ gilt

$$-(k^2 + l^2)(-\imath \sigma + iU_k) + i\beta k = 0$$

$$\boxed{\sigma = U_k - \frac{\beta k}{k^2 + l^2}}$$

Störungs-
relation Rossby-
wellen (barotrop!)

U_k ist nur kinematisch: auch ohne Welle läuft Hintergrund mit U . Kurze Rechnung:

$$c_{gr}^x = c_{ph}^x + \frac{2\beta k^2}{(k^2 + l^2)^2}$$

Gruppen- Phasengeschw. in x -Richtung

$$\text{Phase } c_{ph}^x = -\frac{U_k}{k^2 + l^2} \text{ wdg} \quad \begin{matrix} y \uparrow N \\ \rightarrow x \text{ von Ost nach West} \end{matrix}$$

Wenn z.B. $c_{ph}^x = 0$ kann Gruppe von West nach Ost